

И Н С Т И Т У Т  
ЯДЕРНОЙ ФИЗИКИ СОАН СССР

И Я Ф 37 - 70

А.А.Бехтенев, В.И.Волосов, Р.А.Эллис\*, Ю.Н.Юдин

КОРРЕЛЯЦИОННЫЕ ИЗМЕРЕНИЯ В ПЛАЗМЕ  
МЕТОДОМ ДИАГРАММ РАССЕЯНИЯ

Новосибирск

1970

А.А.Бехтенев, В.И.Волосов, Р.А.Эллис<sup>x)</sup>, Ю.Н.Юдин

## КОРРЕЛЯЦИОННЫЕ ИЗМЕРЕНИЯ В ПЛАЗМЕ МЕТОДОМ ДИАГРАММ РАССЕЯНИЯ

При изучении колебаний плазмы одним из методов диагностики, дающим информацию о структуре колебаний (длинах волн, частотах), а также о турбулентных потоках плазмы, являются корреляционные измерения. Эти измерения обычно сводятся к определению коэффициента корреляции  $R$  между двумя сигналами, поступающими из плазмы. В данной работе рассматривается простой метод определения коэффициента корреляции по диаграммам рассеяния двух сигналов.

Как известно, коэффициент корреляции между двумя случайными величинами  $X$  и  $Y$  определяется выражением:

$$R = \frac{\langle (x - \langle x \rangle)(y - \langle y \rangle) \rangle}{\sqrt{\langle (x - \langle x \rangle)^2 \rangle \langle (y - \langle y \rangle)^2 \rangle}} \quad (1)$$

Предположим, что эксперимент позволяет найти диаграмму рассеяния двух сигналов или двумерную плотность вероятности  $w(x, y)$ . В этом случае можно определить  $R$  как некоторую функцию  $w(x, y)$ .

Определим  $R$ , когда  $X(t)$  и  $Y(t)$  — гармонические колебания с частотой  $\omega$ :  $x = x_0 \cos \omega t$   $y = y_0 \cos(\omega t - \varphi)$ . Подставляя выражение для  $x$  и  $y$  в (1) нетрудно убедиться, что

$$R = \cos \varphi \quad (2)$$

где  $\varphi$  — сдвиг по фазе между двумя сигналами  $x$  и  $y$ .

Можно показать, что в этом случае функция  $w(x, y)$  или

<sup>x)</sup> Лаборатория физики плазмы, Принстонский университет, США.  
(По научному обмену между АН СССР и Национальной Академией наук США).

$y(x)$  является эллипсом

$$\left(\frac{x}{x_0}\right)^2 + \left(\frac{y}{y_0}\right)^2 - \frac{xy}{x_0 y_0} \cos \varphi = \sin^2 \varphi$$

большая и малая полуоси этого эллипса равны соответственно  
(при  $x_0 = y_0$ )

$$a = x_0 \sqrt{\frac{\sin^2 \varphi}{1 - \cos \varphi}} \quad b = x_0 \sqrt{\frac{\sin^2 \varphi}{1 + \cos \varphi}}$$

откуда получаем

$$\cos \varphi = \frac{1 - b^2/a^2}{1 + b^2/a^2} = R \quad (3)$$

т.е. в этом простейшем случае зная лишь зависимость  $x(y)$  или  $y(x)$  можно определить коэффициент корреляции между сигналами.

Рассмотрим две случайные функции  $x$  и  $y$  с гауссовым распределением амплитуд /1/, /2/.

Функция плотности вероятности имеет вид:

$$\left. \begin{aligned} f(x) &= \frac{1}{(2\pi)^{1/2} C_x} \exp\left[-\frac{(x - \langle x \rangle)^2}{2C_x^2}\right] \\ f(y) &= \frac{1}{(2\pi)^{1/2} C_y} \exp\left[-\frac{(y - \langle y \rangle)^2}{2C_y^2}\right] \end{aligned} \right\} \quad (4)$$

где  $C_x^2$ ,  $C_y^2$  - дисперсия, и функция совместной плотности вероятности:

$$w(x, y) = \frac{1}{2\pi C_x C_y (1 - R^2)^{1/2}} \exp\left\{-\frac{(x - \langle x \rangle)^2}{2(1 - R^2)}\right\}$$

$$x \left[ \left( \frac{x - \langle x \rangle}{C_x} \right)^2 - 2R \left( \frac{x - \langle x \rangle}{C_x} \right) \left( \frac{y - \langle y \rangle}{C_y} \right) + \left( \frac{y - \langle y \rangle}{C_y} \right)^2 \right] \quad (5)$$

Можно дать геометрическую интерпретацию двумерной плотности (5). Функция  $\xi = w(x, y)$  может быть изображена в системе координат  $x$ ,  $y$ ,  $\xi$  поверхностью, которая носит название поверхности нормального распределения. Сечение этой поверхности плоскостью  $\xi = \xi_0 = \text{const}$  даёт уравнение кривой

$$\left( \frac{x - \langle x \rangle}{C_x} \right)^2 + \left( \frac{y - \langle y \rangle}{C_y} \right)^2 - 2R \left( \frac{x - \langle x \rangle}{C_x} \right) \left( \frac{y - \langle y \rangle}{C_y} \right) = C_0 \quad (6)$$

на которой лежат точки с равной плотностью вероятности (экви-вероятностная кривая). Полученное уравнение есть уравнение эллипса. В случае  $C_x = C_y = C$  и  $R = 0$  эллипс переходит в окружность. Экви-вероятностные кривые будут в зависимости от величины  $R$  прямой линией, эллипсом или окружностью. Из выражения (6) при условии  $\langle x \rangle = \langle y \rangle = 0$ ;  $C_x = C_y$ , находим коэффициент корреляции:

$$R = \frac{1 - b^2/a^2}{1 + b^2/a^2} \quad (7)$$

где  $b$  и  $a$  - малая и большая полуоси эллипса соответственно. При этом угол наклона большой оси эллипса к оси  $x$   $\alpha = 45^\circ$ , если  $R > 0$  и  $\alpha = -45^\circ$ , если  $R < 0$  (заметим, что (7) совпадает с (3)).

Перейдем к случаю двух производных функций, не делая каких-либо предположений о характере распределения амплитуд. Введем предварительно некоторые определения из математичес-

кой статистики. Рассмотрим произвольную функцию  $\varphi(\xi)$  от исследуемой случайной величины  $\xi$ . Очевидно и сама функция  $\varphi(\xi)$  будет тоже случайной величиной. Математическим ожиданием функции  $(\cdot)$  называется выражение:

$$M(\varphi(\xi)) = \int_{-\infty}^{\infty} \varphi(x) f(x) dx$$

где  $f(x)$  - распределение плотности вероятности исследуемой случайной величины (интегрирование проводится по всем возможным значениям  $\varphi(x)$ ). Если в качестве функции  $\varphi(x)$  задаться функциями вида

$$\varphi^{(k)}(\xi) = \xi^{(k)}$$

или

$$\varphi_0^{(k)}(\xi) = (\xi - M(\xi))^k \quad k=0, 1, 2, \dots$$

то соответствующие им математические ожидания носят название начальных моментов  $k$ -го порядка (для  $\varphi^{(k)}(\xi)$ ) и центральных моментов  $k$ -го порядка для  $\varphi_0^{(k)}(\xi)$ . В двумерном случае моменты  $(i+k)$ -го порядка определяются как

$$M_{ik} = M[(\xi - M(\xi))^i (\eta - M(\eta))^k]$$

и в случае выборочных данных

$$M_{11} = \frac{1}{n} \sum_{i=1}^n (x_i - \langle x \rangle)(y_i - \langle y \rangle)$$

$M_{20}$  и  $M_{02}$  представляют собой дисперсии  $C_1^2$  и  $C_2^2$  случайных величин  $\xi$  и  $\eta$  соответственно.

В принятых обозначениях коэффициент корреляции между двумя случайными величинами можно записать в виде:

$$R = \frac{M_{11}}{\sqrt{M_{20} M_{02}}} = \frac{M_{11}}{C_1 C_2} \quad (10)$$

Для наглядности будем рассматривать диаграмму рассеяния как область распределения единичной массы с центром тяжести в точке  $(M_x, M_y)$ .

Проведем через центр тяжести прямую линию

$$(x - M_x) \sin \varphi - (y - M_y) \cos \varphi = 0$$

где  $\varphi$  - угол между прямой и осью  $x$ . Наименьшее расстояние  $d$  между точкой  $(x, y)$ , содержащей элемент массы и прямой определяется выражением

$$d = (x - M_x) \sin \varphi - (y - M_y) \cos \varphi$$

а момент инерции распределения около этой прямой есть

$$\begin{aligned} M(d^2) &= M([(x - M_x) \sin \varphi - (y - M_y) \cos \varphi]^2) = \\ &= C_1^2 \sin^2 \varphi - 2RC_1C_2 \sin \varphi \cos \varphi + C_2^2 \cos^2 \varphi \end{aligned} \quad (11)$$

Исследуя (11) на экстремальные значения, находим условие, налагаемое при этом на угол  $\varphi / 3$ :

$$\operatorname{tg} 2\varphi = \frac{2RC_1C_2}{C_1^2 - C_2^2} \quad (12)$$

откуда видно, что максимальное и минимальное значения момента инерции соответствует углам с интервалом  $\pi/2$ .

Обозначим отношение экстремальных величин моментов:

$$\frac{M(d^2)|_{\varphi}}{M(d^2)|_{\varphi + \pi/2}} = \rho \quad (13)$$

из (11) и (13) получим:

$$\rho = \frac{C_1^2 \sin^2 \varphi - 2RC_1C_2 \sin \varphi \cos \varphi + C_2^2 \cos^2 \varphi}{C_1^2 \cos^2 \varphi + 2RC_1C_2 \sin \varphi \cos \varphi + C_2^2 \sin^2 \varphi}$$

полагая  $C_1 = C_2 = C$  и  $\varphi = 45^\circ$ , имеем

$$\rho = \frac{1-R}{1+R}$$

откуда

$$R = \frac{1-\rho}{1+\rho} \quad (14)$$

Нетрудно показать, используя (13), что в общем случае, когда эквивероятностные сечения функции  $w(x, y)$  имеют вид подобных эллипсов, коэффициент корреляции  $R$  определяется выражением (7), частными случаями таких функций являются гауссовское распределение и гармонические колебания.

Диаграмму рассеяния можно весьма просто получить в эксперименте, подавая два исследуемых сигнала на осциллограф с "X" и "Y" - усилителями. Если характерный период колебаний (или шумов) много меньше, чем время послесвечения экрана (или экспозиции), то на экране осциллографа наблюдается яркостное изображение, которое и является диаграммой рассеяния или  $w(x, y) = \text{const}$  для этих двух сигналов, причём амплитуда яркости пропорциональна плотности вероятности  $w(x, y)$ . Метод определения коэффициента корреляции по виду диаграммы рассеяния, полученной таким образом, отличаясь простотой и наглядностью позволяет в то же время вести измерение на весьма высоких частотах /2/.

В экспериментах, проводившихся на стеллараторе /4/ этот метод использовался для диагностики распадной плазмы в режимах, когда частоты колебаний были соизмеримы со временем измерения параметров плазмы. Характерное время распада плазмы  $\sim 0,1 - 5$  мсек ( $T_3$ ), характерный период колебаний  $\sim 0,02 - 0,5$  мсек, частота повторения импульсов создающих плазму 50 - 0,5 Гц ( $T_2 = 1/f$ ).

Корреляционные измерения проводились на отрезках времени ( $T_3$ ) меньших, чем характерное время распада плазмы ( $T_3 \sim 0,05 - 0,4$  мсек); за время  $T_3$  основные параметры плазмы ( $n_e, T_e$ ) - менялись несущественно. Для построения диаграммы рассеяния использовалась серия сигналов из нескольких ( $\sim 10^2 - 10^3$ ) последовательных распадов плазмы. В случае, когда диаграмма рассеяния строится подобным образом - по выборочным измерениям, т.е. сигналы анализируются в течение отрезков времени много меньших, чем интервал между ними ( $T_2$ ) вид функции  $w(x, y)$  будет таким же, как и в случае непрерывной регистрации, если анализируемый процесс - случайный или если интервал  $T_2$  является случайной функцией времени. Так как в описанных ниже экспериментах  $T_2$  была постоянной величиной, то предполагалось, что фазы изучающихся колебаний были случайными; это предположение было проверено на-ми на эксперименте.

Блок-схема измерений представлена на рис.1. Сигналы с зондов через фильтры поступали на вход  $X$  и  $Y$  - осциллографа. Для выделения нужного участка распада применялась модуляция луча осциллографа импульсом подсветки, длительность которого можно менять в пределах 1 мсек - 2 мсек. Для построения  $w(x, y)$  по многим импульсам обычно использовалась осциллографическая трубка с послесвечением (осциллограф С1-30); другой метод, использовавшийся для этой цели - фотографирование экрана осциллографа в течение 100-1000 - импульсов; результаты, полученные этими двумя методами практически не отличались.

Для контроля случайности исследуемых сигналов построение функции  $w(x, y)$  проводилось при различных значениях  $T_2, T_3$  и времени от начала распада плазмы; практически всегда функция  $w(x, y)$  не зависела от этих переменных.

Для измерения турбулентных потоков плазмы использовались три ленгмюровских зонда: два крайних - измеряли плавающий потенциал, по разности которых определялась величина  $E_\varphi$ , а центральный зонд - плотность. Схема расположения зондов показана на рис.2. Турбулентный поток определяется выражением

$$\Gamma = \langle n v_p \rangle = \frac{1}{B_z} \langle n E_\varphi \rangle$$

Измеряя коэффициент корреляции  $R$  имеем

$$R = \frac{\langle n E_4 \rangle}{\sqrt{\langle n^2 \rangle \langle E_4^2 \rangle}}$$

и определяя  $\langle n^2 \rangle$  и  $\langle E_4^2 \rangle$  получаем величину потока плазмы. В нашем случае измерения велись на частоте 4 кГц и сигнал, поступающий на осциллограф был близок к синусоидальному  $n = n_0 \sin \omega t$ ,  $E_4 = E_{40} \sin(\omega t - \varphi)$ .

Тогда

$$\sqrt{\langle n^2 \rangle} = \frac{n_0}{\sqrt{2}}, \quad \sqrt{\langle E_4^2 \rangle} = \frac{E_{40}}{\sqrt{2}}$$

коэффициент корреляции между сигналами с двух крайних зондов при расстоянии между ними  $\tau \sim 7$  мм был  $\sim 0,6 - 0,9$  и при увеличении этого расстояния медленно падал. Это говорит о том, что  $\tau$  было меньше длины волны.

При изменении знака магнитного поля менялся знак коэффициента корреляции (рис.3); знак  $R$  также менялся при переходе от измерений на ионной ветви зондовой характеристики к измерениям на электронной ветви. В качестве примера на рис.4 приведены результаты измерений потока для двух различных значений магнитного поля. Видно, что время жизни плазмы, вычисленное по потокам, по порядку величины совпадает с временем жизни, определенным по распаду плотности.

В заключение авторы благодарят Р.З.Сагдеева и А.В.Комина за интерес к работе и Г.Ф.Абдрашитова, В.Н.Бочарова и В.М.Панасюка за ценные замечания и помощь в работе.

## Л и т е р а т у р а

1. G.R. Sugar, *J. Appl. Phys.* 25, 354 (1954).
2. T.H. Jensen and R.W. Moore, *Jr. Rev. Sci. Instrum.* 40, 772 (1969).
3. T.M. Burford, *J. Appl. Phys.* 26, 56 (1955).
4. В.Н.Бочаров, В.И.Волосов, А.В.Комин, В.М.Панасюк, Ю.Н.

Юдин, Доклад на III Международной конференции по исследованиям в области физики плазмы и управляемых термоядерных реакций СН - 24/Д-7, г.Новосибирск (1968).

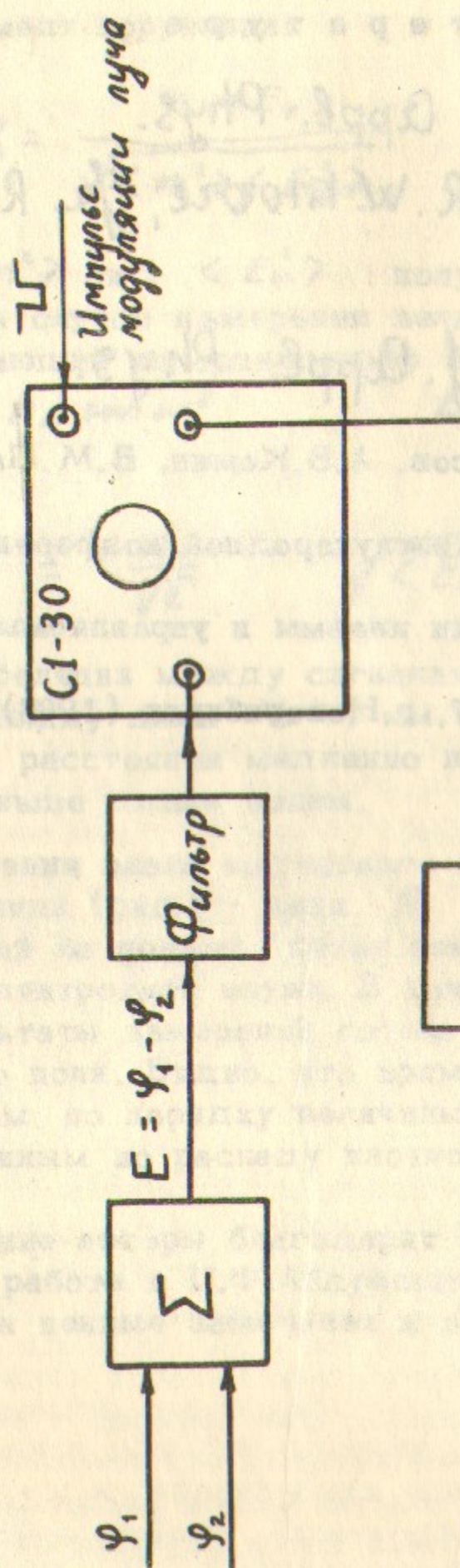


Рис.1.

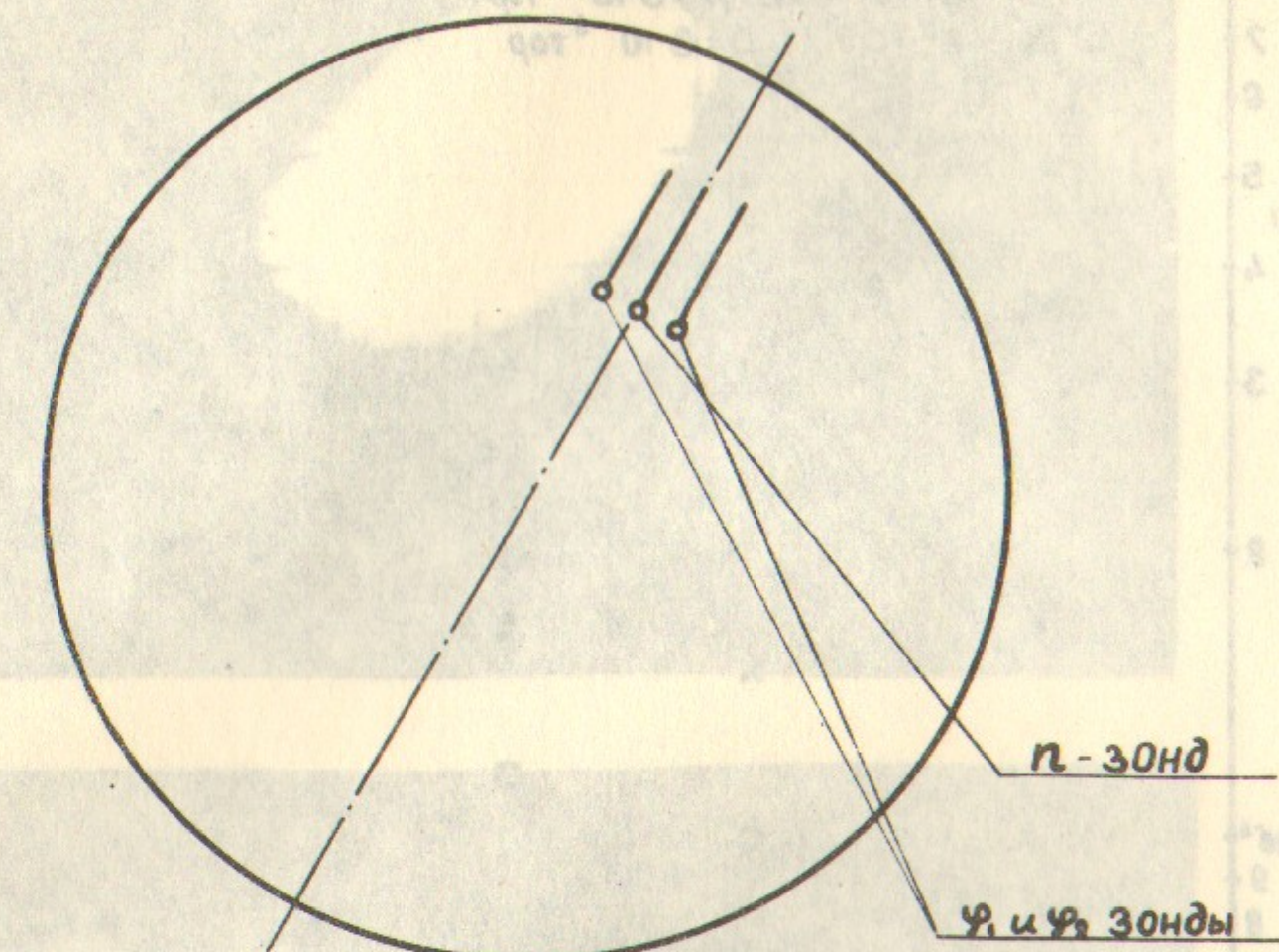


Рис.2.

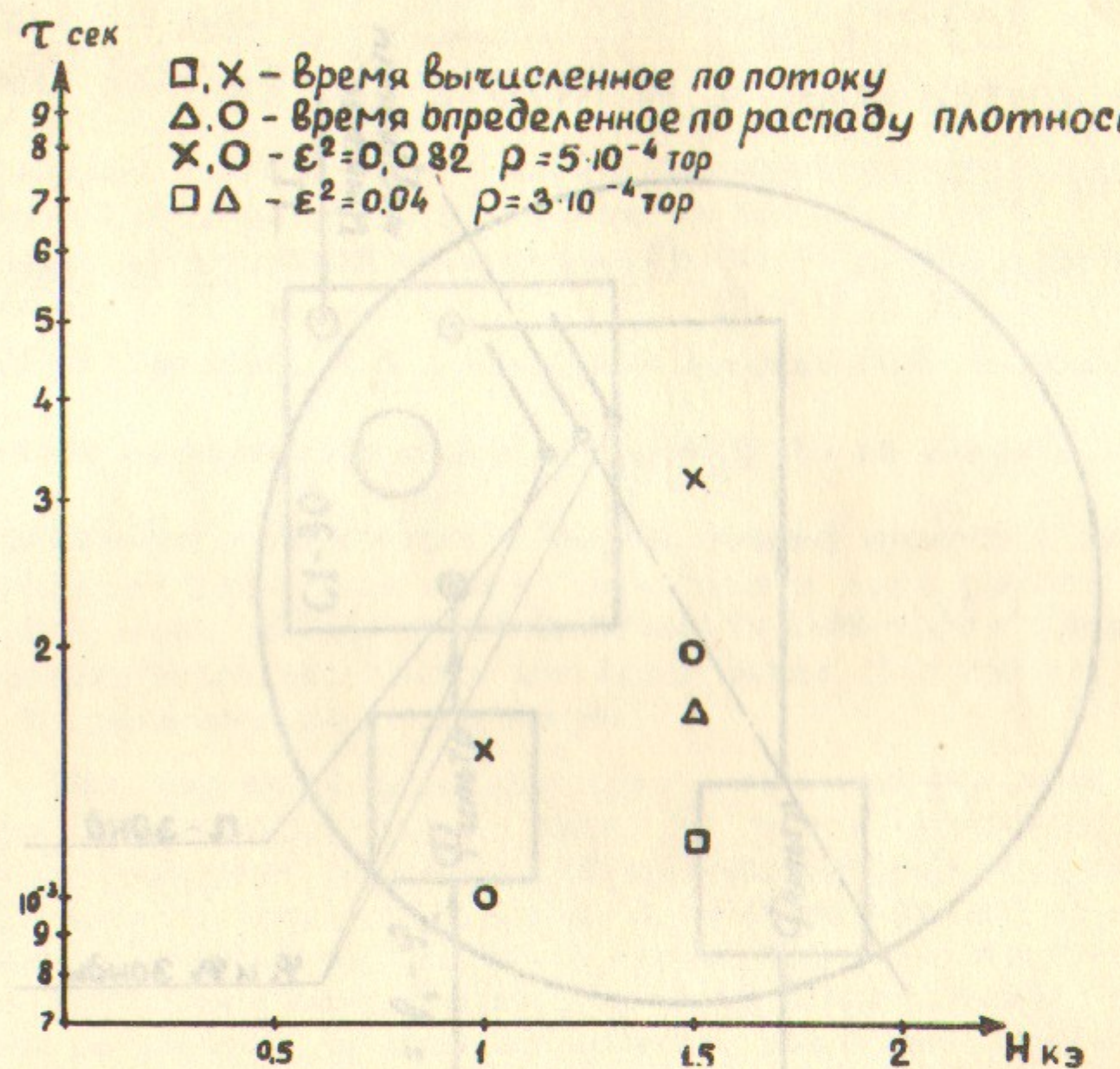


Рис.3.

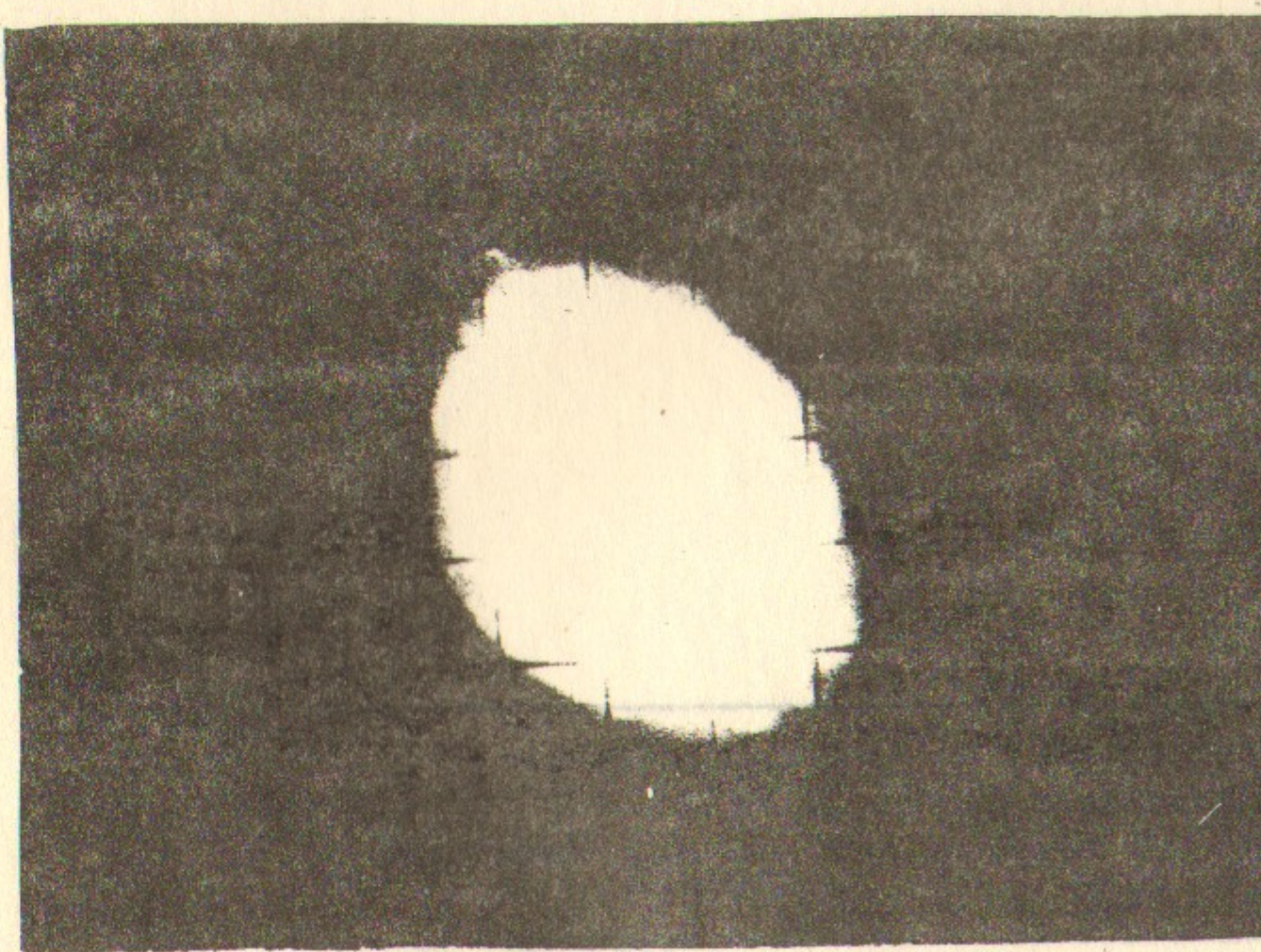
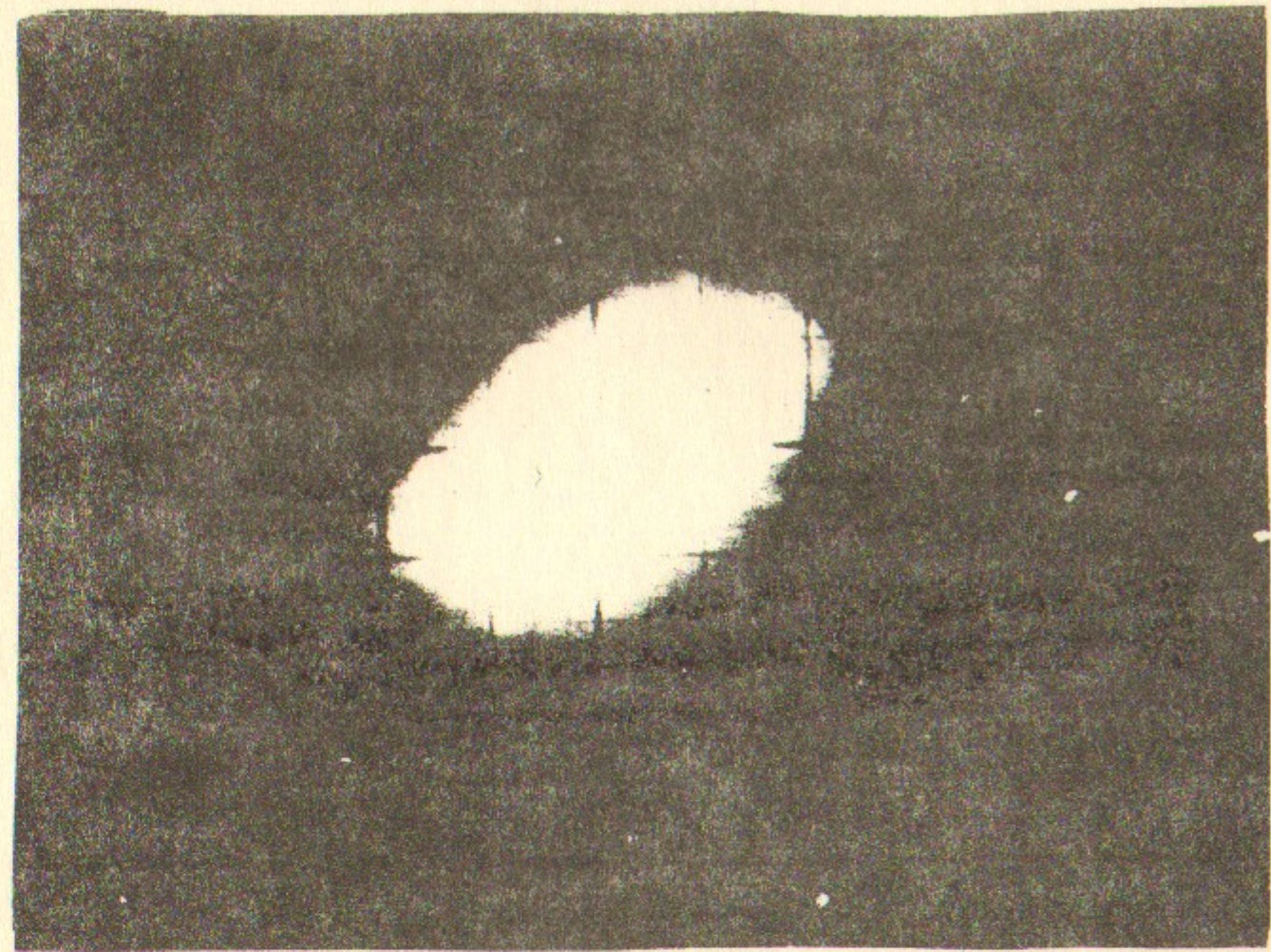


Рис.4б.  $R = 0.36$   $L = 18$  мм  
Рис.4а.  $R = 0.36$   $L = 22$  мм  
 $L$  — расстояние зонда от оси камеры.

Ответственный за выпуск Ю.Н.Юдин  
Подписано к печати 25.У-70г. - 8  
Усл. 0,8 печ.л., тираж 250 экз. Бесплатно  
Заказ № 37. ПРЕПРИНТ

Отпечатано на ротапринте в ИЯФ СО АН СССР